

1. Потенциальная помехоустойчивость некогерентного приема. Потенциальная помехоустойчивость ДАМ, ДЧМ и ДОФМ сигналов.

### 2.2.8. Потенциальная помехоустойчивость некогерентного приема.

$$P_{ош} = P(H_1) \cdot P(\gamma_2/H_1) + P(H_2) \cdot P(\gamma_1/H_2) = 0.5 [P(\gamma_2/H_1) + P(\gamma_1/H_2)] = \\ = P(\gamma_1/H_2) = P\{X_{n1} > X_{n2} / H_2\} = P(\gamma_2/H_1) = P\{X_{n1} < X_{n2} / H_1\}$$

Положив  $y_i = A_2 \cdot \cos(w_2 \cdot i + \Psi_{2i} + \varphi) + \eta_i$ , записываем ФПВ гауссовских случайных величин  $X_{nc1}, X_{ns1}, X_{nc2}, X_{ns2}$ , затем переходим к величинам  $X_{n1}, X_{n2}$ . Далее весьма громоздкие вычисления вероятности  $P\{X_{n1} > X_{n2} / H_2\}$  приводят к следующему окончательному результату:

$$P_{ош} = Q\left(\frac{1}{2}\sqrt{\frac{E}{\sigma_\eta^2}}(1 - \sqrt{1 - \rho_s^2}), \frac{1}{2}\sqrt{\frac{E}{\sigma_\eta^2}}(1 + \sqrt{1 - \rho_s^2})\right) - \frac{1}{2}e^{-\frac{1}{4}\frac{E}{\sigma_\eta^2}} \cdot I_0\left(\frac{1}{4}\frac{E}{\sigma_\eta^2}\rho_s\right), \quad (2.44)$$

где  $\sigma_\eta^2 = \frac{N_0}{2}$  - дисперсия шума,  $Q(x, y) = \int_y^\infty v \cdot e^{-\frac{v^2 + x^2}{2}} \cdot I_0(vx) dv$  - табулированная

функция,  $\rho_s = \frac{1}{E} \sqrt{b_c^2 + b_s^2}$ ,  $0 \leq \rho_s \leq 1$ ,  $b_c = \frac{1}{2} \sum_{i=1}^n A_1 \cdot A_2 \cos[(w_2 - w_1)i + \Psi_{2i} - \Psi_{1i}]$ ,

$$b_s = \frac{1}{2} \sum_{i=1}^n A_1 \cdot A_2 \sin[(w_2 - w_1)i + \Psi_{2i} - \Psi_{1i}].$$

### **Потенциальная помехоустойчивость некогерентного приема сигналов ДАМ, ДЧМ, ДОФМ.**

1) ДАМ сигнал: из формулы (2.44) имеем

$$P_{ош} = \frac{1}{2} \left[ 1 + e^{-\frac{1}{2}h^2} - Q\left(\sqrt{\frac{E}{\sigma_\eta^2}}, h\right) \right],$$

где оптимальный порог  $h$  находится из уравнения  $I_0\left(h\sqrt{\frac{E}{\sigma_\eta^2}}\right) = e^{\frac{1}{2}\frac{E}{\sigma_\eta^2}}$ .

Существует приближенная формула для вычисления вероятности ошибки при некогерентном приеме ДАМ сигнала:

$$P_{ош} = \frac{1}{2} e^{-0.25h^2}, \quad (2.45)$$

где  $h^2 = \frac{E}{N_0}$  .

2) ДЧМ сигнал: сигнал ортогональный, поэтому  $\rho_s \approx 0 \Rightarrow$  из (2.44):

$$P_{ош} = Q(0, \frac{1}{2} \sqrt{\frac{2E}{\sigma_\eta^2}}) - \frac{1}{2} e^{-\frac{1}{4} \frac{E}{\sigma_\eta^2}} .$$

Т.к.  $Q(0, \frac{1}{2} \sqrt{\frac{2E}{\sigma_\eta^2}}) = e^{-\frac{(\frac{1}{2} \sqrt{\frac{2E}{\sigma_\eta^2}})^2}{2}}$  , то получим следующее выражение для

вероятности ошибки:  $P_{ош} = e^{-\frac{\frac{1}{2}E}{4\sigma_\eta^2 \cdot \frac{1}{2}}} - \frac{1}{2} e^{-\frac{1}{4} \frac{E}{\sigma_\eta^2}} = \frac{1}{2} e^{-\frac{1}{4} \frac{E}{\sigma_\eta^2}}$  . Дисперсия шума равна  $\sigma_\eta^2 = \frac{N_0}{2}$  , тогда

$$P_{ош} = \frac{1}{2} e^{-0.5 \cdot h^2} . \quad (2.46)$$

3) ДФМ сигнал нельзя принимать некогерентным способом , т.к. при неизвестной начальной фазе такие системы неразличимы.

4)ДОФМ – сигналы, ортогональные на интервале  $2T$ , тогда  $\rho_s = 0$  ( $\rho_s = 0$  , т.к.  $b_c = 0$  и  $b_s = 0 \Rightarrow b_c = \frac{1}{2} \sum_{i=1}^n \cos(0) - \frac{1}{2} \sum_{i=n+1}^{2n} \cos(0) = 0$  ,  $b_s = \frac{1}{2} \sum_{i=1}^n \sin(0) - \frac{1}{2} \sum_{i=n+1}^{2n} \sin(0) = 0$ ).  $\Rightarrow$

$$P_{ош} = \frac{1}{2} e^{-\frac{1}{4} \frac{E_1}{\sigma_\eta^2}} , \text{ где } E_1 = 2E \Rightarrow \text{с учетом, что } \sigma_\eta^2 = \frac{N_0}{2}$$

$$P_{ош} = \frac{1}{2} e^{-h^2} . \quad (2.47)$$

Прием ДОФМ ведется на интервале  $2T(2n)$ . Для ДОФМ сигналов алгоритм (2.43) преобразуется:

$$X_{nc1} = \sum_{i=1}^n y_i \cos(wi) + \sum_{i=n+1}^{2n} y_i \cos(w(i-n)) , X_{ns1} = \sum_{i=1}^n y_i \sin(wi) + \sum_{i=n+1}^{2n} y_i \sin(w(i-n)) ,$$

$$X_{nc2} = \sum_{i=1}^n y_i \cos(wi) - \sum_{i=n+1}^{2n} y_i \cos(w(i-n)) , X_{ns2} = \sum_{i=1}^n y_i \sin(wi) - \sum_{i=n+1}^{2n} y_i \sin(w(i-n)) .$$

$$\text{Т.к. } S_{1i} = \begin{cases} \cos(wi), 0 < i \leq n \\ \cos(w(i-n)), n < i \leq 2n \end{cases} , \quad S_{2i} = \begin{cases} \cos(wi), 0 < i \leq n \\ -\cos(w(i-n)), n < i \leq 2n \end{cases} \Rightarrow$$

$$X_{n1} = \sqrt{X_{nc1}^2 + X_{ns1}^2} = \left[ \left( \sum_{i=1}^n y_i \cos(wi) \right)^2 + \left( \sum_{i=n+1}^{2n} y_i \cos(w(i-n)) \right)^2 + \right.$$

$$+2 \cdot \sum_{i=1}^n y_i \cos(wi) \cdot \sum_{i=n+1}^{2n} y_i \cos(w(i-n)) + \left( \sum_{i=1}^n y_i \sin(wi) \right)^2 + \\ + \left( \sum_{i=n+1}^{2n} y_i \sin(w(i-n)) \right)^2 + 2 \cdot \sum_{i=1}^n y_i \sin(wi) \cdot \sum_{i=n+1}^{2n} y_i \sin(w(i-n)) \right]^{1/2}$$

Аналогично

$$X_{n2} = \sqrt{X_{nc2}^2 + X_{ns2}^2} = \left[ \left( \sum_{i=1}^n y_i \cos(wi) \right)^2 + \left( \sum_{i=n+1}^{2n} y_i \cos(w(i-n)) \right)^2 - \right. \\ \left. - 2 \cdot \sum_{i=1}^n y_i \cos(wi) \cdot \sum_{i=n+1}^{2n} y_i \cos(w(i-n)) + \left( \sum_{i=1}^n y_i \sin(wi) \right)^2 + \right. \\ \left. + \left( \sum_{i=n+1}^{2n} y_i \sin(w(i-n)) \right)^2 - 2 \cdot \sum_{i=1}^n y_i \sin(wi) \cdot \sum_{i=n+1}^{2n} y_i \sin(w(i-n)) \right]^{1/2}$$

Обозначим  $V_{n1} = \sum_{i=1}^n y_i \cos(wi) \cdot \sum_{i=n+1}^{2n} y_i \cos(w(i-n)) + \sum_{i=1}^n y_i \sin(wi) \cdot \sum_{i=n+1}^{2n} y_i \sin(w(i-n))$ ,

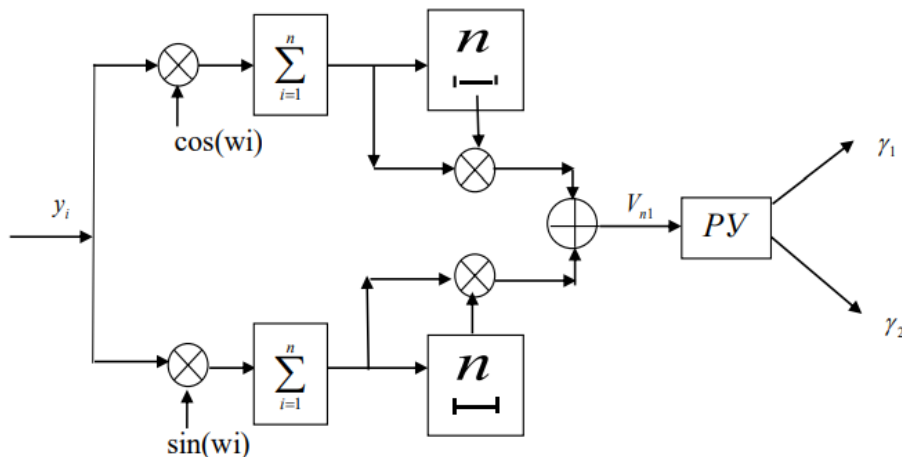
$$V_{n2} = -\sum_{i=1}^n y_i \cos(wi) \cdot \sum_{i=n+1}^{2n} y_i \cos(w(i-n)) - \sum_{i=1}^n y_i \sin(wi) \cdot \sum_{i=n+1}^{2n} y_i \sin(w(i-n)).$$

Тогда  $\begin{matrix} \text{если } V_{n1} > V_{n2} \Rightarrow \gamma_1 \\ \text{если } V_{n1} < V_{n2} \Rightarrow \gamma_2 \end{matrix}$ . Так как  $V_{n1}$ ,  $V_{n2}$  отличаются только знаком, то

алгоритм приема можно записать в следующей форме:

$$\begin{matrix} \text{если } V_{n1} > 0 \Rightarrow \gamma_1 \\ \text{если } V_{n1} < 0 \Rightarrow \gamma_2 \end{matrix} \quad (2.48)$$

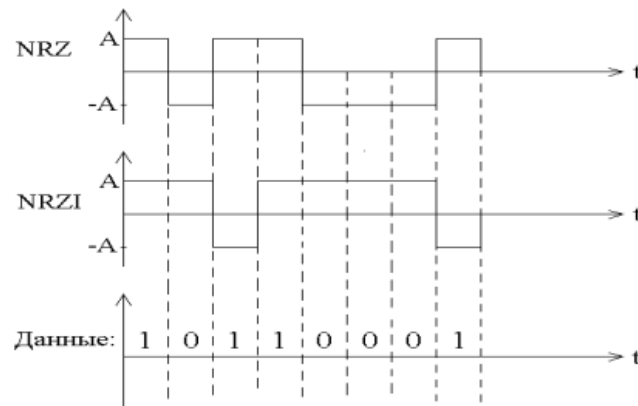
На рисунке 2.16. показана структура алгоритма некогерентного приема ДОФМ сигнала.



## 2. Цифровые модуляторы с памятью. Дифференциальное кодирование.

### 3.2.1. Линейная модуляция с памятью.

Ограничим рассмотрение базовыми сигналами (низкочастотными). Рассмотрим два базовых сигнала, которые представлены на рисунке 3.5.:



**Рисунок 3.5. Временная диаграмма базовых низкочастотных сигналов.**

Первый сигнал NRZ (двоичный сигнал без возвращения к нулевому уровню – ДБН) – простейший. NRZ отображает модуляцию без памяти. Он эквивалентен двоичной АМ или двоичной ЧМ ( $\theta_{1,2}=0; \pi$ ) в системе с модулированной несущей. Второй – NRZI отличается от NRZ тем, что переход от одного уровня амплитуды к другому имеет место только при передаче «1». Уровень амплитуды не меняется, когда передается «0». Этот тип преобразования называется дифференциальным кодированием. Операция кодирования математически записывается в следующем виде:

$$b_k = a_k \oplus b_{k-1}, \quad (3.9)$$

где  $\{a_k\}$  – двоичная информационная последовательность на входе кодера,  $\{b_k\}$  – последовательность на выходе кодера,  $\oplus$  – суммирование по модулю 2. Далее, если  $b_k=1$ , то передаваемый сигнал – прямоугольный импульс с амплитудой А, если  $b_k=0$ , то передаваемый сигнал – прямоугольный импульс с амплитудой –А. Операция дифференциального кодирования вводит память в сигнал.

### 3.2.2. Нелинейные методы модуляции с памятью

#### **Модуляция с непрерывной фазой (МНФ).**

$$S(t) = A \cos[2\pi f_c t + \Psi(t, I)]$$

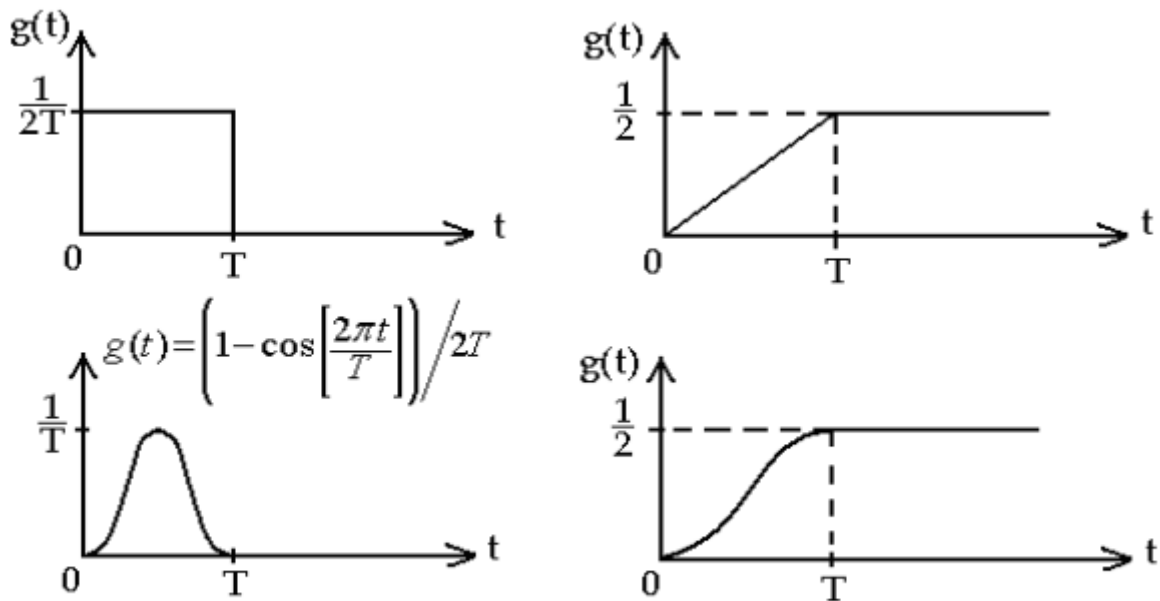
$$\Psi(t, I) = 2\pi \sum_{l=1}^n I_l h_l q(t - (l-1)T) \quad (3.10)$$

$$(n-1)T \leq t \leq nT$$

где  $n=1,2,\dots$ ,  $\{I_l\}$  – последовательность информационных символов, выбранных из алфавита  $\pm 1, \pm 3, \dots, \pm(M-1)$ ,  $\{h_l\}$  – последовательность индексов модуляции для всех символов,  $q(t)$  – нормированная огибающая сигнала. Когда  $h_l$  меняется от одного символа к другому  $\Rightarrow$  сигнал МНФ называется многоиндексным (*multi-h*).

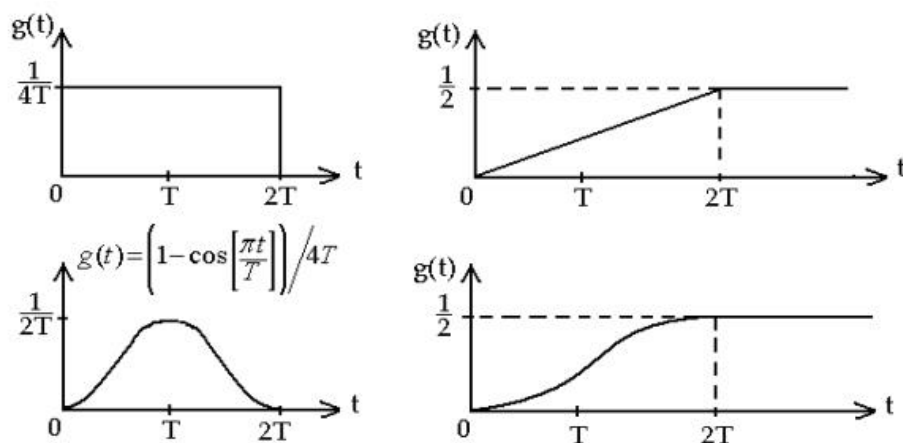
$$q(t) = \int_0^t g(\tau) d\tau,$$

где  $g(\tau)$  – форма импульса. Если  $g(\tau)=0$  для  $t > T \Rightarrow$  сигнал МНФ называют МНФ с полным откликом. Если  $g(\tau) \neq 0$  для  $t < T \Rightarrow$  сигнал называют МНФ с парциальным откликом. Функции  $g(t)$ ,  $q(t)$  для полного и парциального отклика показаны на рисунке 3.6.



a)



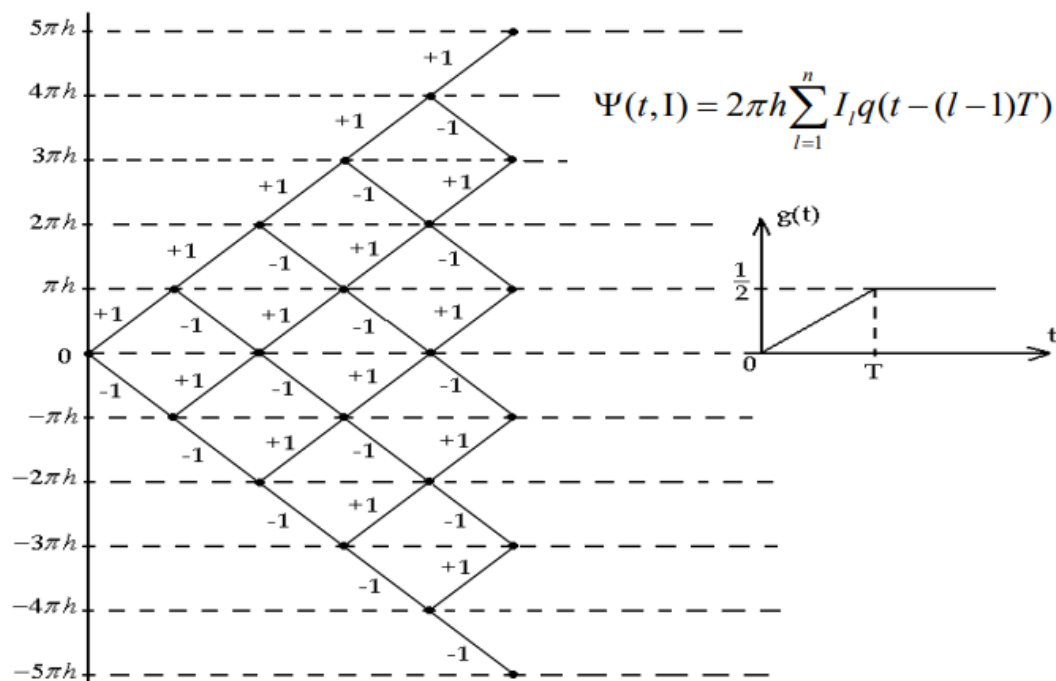


б)

**Рисунок 3.6. Функции  $g(t)$ ,  $q(t)$  сигнала МНФ: полный отклик – а, частичный отклик – б.**

Можно нарисовать ряд фазовых траекторий  $\Psi(t, I)$ , генерируемых возможными значениями информационных последовательностей  $\{I_n\}$ .

Например, в случае ЧМНФ (ЧМ с непрерывной фазой – частный случай МНФ сигнала,  $h = 2f_{dev}T = const$ ,  $f_{dev}$  – максимальная девиация частоты) с двоичными символами  $I_n = \pm 1$  и прямоугольным импульсом  $g(t)$  ряд фазовых траекторий, начинающихся при  $t = 0$  показан на рисунке 3.7.



**Рисунок 3.7. Фазовые траектории сигнала МНФ с полным откликом и прямоугольным импульсом.**

Такие фазовые траектории называются фазовым деревом.

### Дифференциальная ИКМ (ДИКМ).

В ИКМ каждый отсчет кодируется независимо от других. Но у многих источников сигнала при дискретизации через  $\Delta t = \frac{1}{2F_g}$  или чаще проявляется значительная корреляция между отсчетами. В ДИКМ кодируется разность между отсчетами сигнала, а не сами отсчеты. Т.к. разность между отсчетами сигнала меньше, чем значения отсчетов, то нужно меньшее число бит для представления разностного сигнала. Суть подхода состоит в следующем.

Предсказывается текущее значение отсчет на основе предыдущих  $p$  отсчетов:

$$\hat{x}_k = \sum_{i=1}^p a_i x_{k-i} \quad (4.28)$$

Здесь  $\hat{x}_k$  - предсказанное значение для текущего отсчета  $x_k$ ,  $k=1,2,\dots$  - дискретное время,  $a_i$  - коэффициенты предсказания, которые находятся по критерию минимума средней квадратической ошибки (СКО):

$$\{a_i, i=1,2,\dots,p\} = \arg \min (M\{e_k^2\}), \quad (4.29)$$

где  $M\{e_k^2\} = M\{x_k - \sum_{i=1}^p a_i x_{k-i}\}^2 = M\{x_k\}^2 - 2 \sum_{i=1}^p a_i M\{x_k x_{k-i}\} + \sum_{i=1}^p \sum_{j=1}^p a_i a_j M\{x_{k-i} x_{k-j}\}$ ,  $M\{\bullet\}$  - оператор математического ожидания,  $e_k$  - ошибка предсказания,  $M\{e_k\}^2$  - дисперсия ошибки предсказания.

Пусть выход источника - стационарный случайный процесс с корреляционной функцией  $R_x(\Delta)$ , где  $\Delta = k - n$  - разность между двумя дискретными моментами времени. Тогда

$$M\{e_k\}^2 = R_x(0) - 2 \sum_{i=1}^p a_i R_x(i) + \sum_{i=1}^p \sum_{j=1}^p a_i a_j R_x(i-j).$$

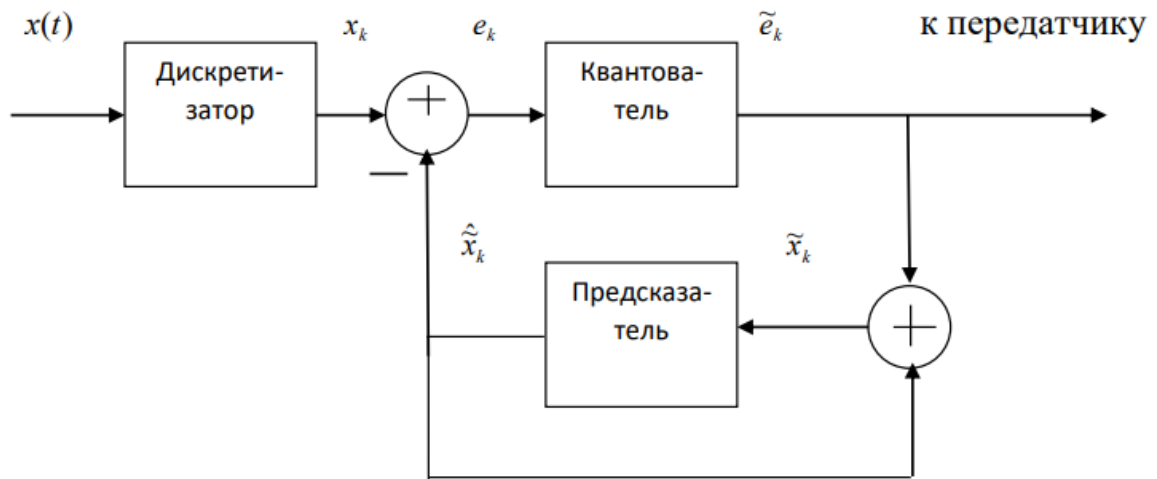
Если корреляционная функция  $R_x(\Delta)$  неизвестна, то ее можно оценить по отсчетам сигнала:

$$\hat{R}_x(\Delta) = \frac{1}{N} \sum_{k=1}^{N-\Delta} x_k x_{k-\Delta}. \quad (4.30)$$

Далее минимизируя дисперсию ошибки предсказания (см. критерий (4.29)), по коэффициентам  $a_i$ ,  $i=1,2,\dots,p$ , получим систему линейных уравнений:

$$\sum_{i=1}^p a_i R_x(i-j) = R_x(j), \quad j=1,2,\dots,p \quad (4.31)$$

Уравнения (4.31) для коэффициентов предсказания называют **нормальными уравнениями** или **уравнениями Юли-Волкера**. Алгоритм их эффективного решения разработан Левинсоном (1974 г.) и Дурбиным (1959 г.).

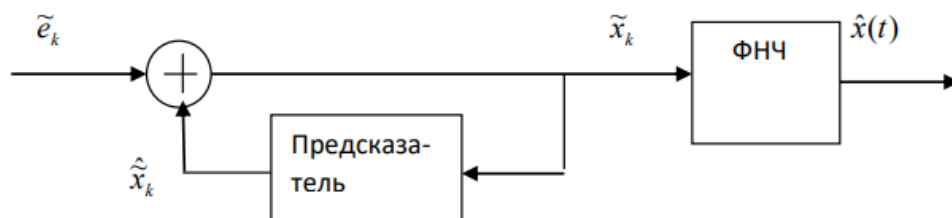


**Рисунок 4.10. Блок-схема кодера ДИКМ.**

$$e_k = x_k - \hat{x}_k = x_k - \sum_{i=1}^p a_i \tilde{x}_{k-i}, \quad \tilde{e}_k - e_k = \tilde{e}_k - (x_k - \hat{x}_k) = \tilde{e}_k + \hat{x}_k - x_k = \tilde{x}_k - x_k = \xi_k,$$

где  $\tilde{x}_k = \hat{x}_k + \tilde{e}_k$ ,  $\xi_k$  - ошибка квантования.

Описание схемы. Квантованный отсчет  $\tilde{x}_k$  является входом предсказателя, выход предсказателя – предсказанный на следующий шаг квантованный отсчет  $\hat{x}_k = \sum_{i=1}^p a_i \tilde{x}_{k-i}$ . Разность  $e_k = x_k - \hat{x}_k$  - вход квантователя,  $\tilde{e}_k$  - выход квантователя. Величина квантованной ошибки  $\tilde{e}_k$  кодируется последовательностью двоичных символов и передается через канал связи.



**Рисунок 4.11. Блок-схема декодера ДИКМ.**

Квантованный отсчет представляет собой сумму квантованной ошибки и предсказанного квантованного отсчета:  $\tilde{x}_k = \hat{x}_k + \tilde{e}_k$ . Далее по полученным  $\tilde{x}_k$  восстанавливается сигнал  $x(t) \approx \hat{x}(t)$ .

**Задача.** Задан непрерывный процесс  $x(t) = 5 \cos(4\pi 10^5 t) - 2 \cos(2\pi 10^5 t)$ . Определить интервал дискретизации  $T$  и первые 3 отсчета.



$$X(t) = 5 \cos(4\pi 10^3 t) - 2 \cos(2\pi 10^3 t)$$

$T = ?$  (интервал дискретизации)

Зачета = ?

процесс содержит 2 частоты  $2\pi 10^3$  и  $4\pi 10^3$

Максимальная частота  $\omega_6 = 4\pi 10^3$

$$T = \frac{\pi}{\omega_6} = \frac{\pi}{4\pi \cdot 10^3} = \frac{1}{4 \cdot 10^3}$$

если  $t = 0$ , то:  $X(0) = 5 \cos 0 - 2 \cos 0 = 3$

$$\text{если } t = T, \text{ то: } X(T) = 5 \cos\left(\frac{4\pi 10^3}{4 \cdot 10^3}\right) - 2 \cos\left(\frac{2\pi \cdot 10^3}{4 \cdot 10^3}\right) =$$

$$= -5 - 2 \cdot 0 = -5$$

$$\text{если } t = 2T, \text{ то: } X(2T) = 5 \cos\left(\frac{4\pi \cdot 10^3}{2 \cdot 10^3}\right) - 2 \cos\left(\frac{2\pi \cdot 10^3}{2 \cdot 10^3}\right) =$$

$$= 5 - 2(-1) = 7.$$